

СПЕКТРОСКОПИЯ ОКРУЖАЮЩЕЙ СРЕДЫ

УДК 539.191

Расчеты уширения линий водяного пара, индуцированного давлением углекислого газа

Н.Н. Лаврентьева, Б.А. Воронин*

Институт оптики атмосферы им. В.Е. Зуева СО РАН
634021, г. Томск, пл. Академика Зуева, 1

Поступила в редакцию 24.06.2013 г.

С использованием полуэмпирического метода проведены расчеты полуширин линий $\text{H}_2\text{O}-\text{CO}_2$ для значений вращательного квантового числа J от 0 до 20. Исследовалась температурная зависимость уширения линий, для всех переходов рассчитаны коэффициенты температурной зависимости.

Ключевые слова: контур линии, полуширина, температурная зависимость; line contour, half-width, temperature dependence.

Коэффициенты уширения линий водяного пара, индуцированного давлением углекислого газа, необходимы для решения различных задач физики атмосферы, астрофизики и лазерной физики. Особенны важны коэффициенты уширения линий водяного пара, индуцированного давлением углекислого газа, для исследования атмосфер Марса и Венеры, которые состоят в основном из CO_2 (~96%). Содержание водяного пара незначительно, например в атмосфере Венеры менее 10 млн^{-1} , однако он является ключевым компонентом облаков, участвуя в фотохимических реакциях.

Несмотря на большую температуру у поверхности Венеры (~700 К), значительный интерес вызывает слой атмосферы выше сернистых облаков от 60 до 80 км, который по многим своим условиям, в частности по температуре, приближен к земным. Исследование водяного пара в верхней атмосфере Венеры посвящены многочисленные статьи, связанные с обработкой данных, получаемых с Venus Express (например, [1]), что также подтверждает актуальность данной работы.

Для решения задач атмосферной спектроскопии и астрофизики необходима информация о параметрах сотен тысяч линий. Причем коэффициенты уширения линий нужно определить с точностью примерно 10%. Расчеты с применением полуклассического подхода Робера–Бонами [2], который исходит из точного моделирования межмолекулярного потенциала и учитывает тонкие детали столкновений и внутримолекулярной динамики, требуют много времени и оказываются весьма трудоемкими. В настоящей статье использована модификация ударной теории, осуществленная на основе более широкого

применения эмпирических данных и названная полумпирическим методом [3]. Параметры модели определяются из подгонки к экспериментальным значениям полуширин. Данный подход хорошо зарекомендовал себя в расчетах параметров контура линии и их температурных зависимостей для систем сталкивающихся молекул $\text{H}_2\text{O}-\text{N}_2(\text{O}_2, \text{H}_2\text{O})$, $\text{O}_3-\text{N}_2(\text{O}_2)$ и $\text{CO}_2-\text{N}_2(\text{O}_2, \text{N}_2\text{O})$ [4–8]. Результаты этих расчетов помещены в информационную систему «W@DIS» [9], а также в банк данных GEISA [10].

Число работ, посвященных исследованию коэффициентов уширения линий водяного пара, индуцированного давлением углекислого газа, по сравнению со случаем уширения азотом и кислородом мало [11–16]. Более полные и точные наборы экспериментальных и расчетных данных получены в работах [14, 15]. Представленные в этих статьях расчеты полуширин линий проведены по методу, известному как комплексный формализм Робера–Бонами, включающий приближение параболической траектории.

Поскольку полуширины линий слабо зависят от колебательных квантовых чисел (различие в полуширинах различных полос составляет обычно несколько процентов), коэффициенты уширения можно рассчитать для одной полосы и затем перенести рассчитанные значения на другие колебательные полосы.

Использование среднего значения температурного показателя в спектроскопических расчетах является, очевидно, грубым приближением. Температурные экспоненты для полуширин линий водяного пара существенно меняются в зависимости от вращательного квантового числа J вследствие сильной зависимости заселенности нижнего уровня от температуры. Следовательно, показатели являются различными для малых и высоких значений J и различных K_a , K_c .

* Нина Николаевна Лаврентьева (lnn@iao.ru); Борис Александрович Воронин (vba@iao.ru).

Ниже приводятся основные соотношения ударной теории и детали вычислений. При обычных для ударной полуклассической теории уширения линий предположениях полуширина γ_{if} , связанная с переходом $i \rightarrow f$, может быть представлена как

$$\gamma_{if} = \frac{n}{c} \sum_k \rho(k) \int_0^\infty v f(v) dv \int_0^\infty \operatorname{Re}\{U(i, f, k, b, v)\} b db. \quad (1)$$

Здесь $U(i, f, k, b, v)$ — функция эффективности, которая задается следующим выражением:

$$\begin{aligned} \operatorname{Re}\{U(i, f, k, b, v)\} = & 1 - \{1 - S_{2,fk,ik}^{(L)}\} \times \\ & \times \cos[S_{1,fk} - S_{1,ik} + \operatorname{Im}\{S_{2,fk}\} - \operatorname{Im}\{S_{2,ik}\}] \times \\ & \times \exp[-(\operatorname{Re}\{S_{2,fk}\} + \operatorname{Re}\{S_{2,ik}\} + S_{2,fk,ik}^{(C)})], \end{aligned} \quad (2)$$

где n — плотность возмущающих молекул; $\rho(k)$ — заселенность уровня k , k — набор квантовых чисел возмущающей молекулы; v — относительная скорость сталкивающихся молекул; $f(v)$ — функция распределения Больцмана; b — прицельный параметр; S_1 и S_2 — члены первого и второго порядков функции эффективности взаимодействий. Индексы (L) и (C) соответствуют и «связным», и «присоединенным» («linked» and «connected») диаграммам теории возмущения. Член первого порядка S_1 отвечает за адиабатический эффект и определяется только изотропной частью потенциала, а S_2 — его анизотропной частью. Эти две функции зависят от «классической» траектории относительного движения сталкивающихся молекул.

Уравнения (1) и (2) представляют общую формулировку полуклассической теории. Их применимость зависит от используемых приближений, накладываемых на: а) относительную траекторию сталкивающихся молекул, б) межмолекулярный потенциал как на коротких, так и длинных дистанциях, в) рассмотрение адиабатических и неадиабатических эффектов, связанных с функциями S_1 и S_2 .

В теории Андерсона относительное движение представляется прямолинейным, а межмолекулярный потенциал имеет вид суммы вкладов дальнодействующих электростатических сил. Для устранения расходности при малых значениях ударного параметра используется «процедура прерывания». Robert и Bonamy [2] разработали полуклассическую теорию (РБ), которая использует более реалистический потенциал в виде суммы атом-атомного короткодействующего и электростатического дальнодействующего потенциалов и свободна от процедуры прерывания. Они использовали также эффективную параболическую траекторию вместо прямолинейной. Было показано, что особенности межмолекулярного взаимодействия на коротких дистанциях и искривление траекторий играют важную роль для близких столкновений и их рассмотрение приводит к значительному улучшению расчетов. Brown et al. [15] предложили модификацию теории РБ, известную как комплексный формализм Робера—Бонами, который учитывает одновременно реальную и ми-

мую части S_2 -функции. Они показали, что учет мнимой части вклада анизотропной части потенциала S_2 важен для расчета полуширин водяного пара. Быков и др. [16] предложили модель точных траекторий (*exact trajectories* — (ET)) для полуклассического метода расчета параметров уширения. Эта модель была успешно применена Булдыревой и др. для вычисления полуширин линий методом Робера—Бонами [17, 18].

Полуэмпирический метод [3], отличающийся сравнительной простотой вычислений, специально разработан для описания процессов уширения линий молекул, характеризующихся так называемыми сильными взаимодействиями, когда расстояние наибольшего сближения сталкивающихся частиц параметра прерывания теории Андерсона $r_c < b_0$. Для слабых взаимодействий ($r_c > b_0$) этот подход не дает удовлетворительных результатов, и необходимо использовать различные варианты метода «cut-off-free», учитывающего более тонкие эффекты. Но для молекул типа HCl—DCl, H₂O—H₂O, H₂O—CO₂ полуэмпирический метод работает хорошо, и нет смысла прибегать к более сложным расчетным схемам.

Общие выражения (1) и (2) зависят от вероятностей переходов $D^2(ii'|l)$ и $D^2(ff'|l)$ различных каналов рассеяния $i \rightarrow i'$, $f \rightarrow f'$, связывающих нижний и верхний уровни перехода с близлежащими уровнями. Эти параметры являются квадратами редуцированных матричных элементов молекулярных операторов, таких как дипольный момент или компоненты квадрупольного тензора. Члены с $l = 1$ относятся к переходам дипольного типа, $l = 2$ соответствует квадрупольным переходам основной молекулы.

Полуширина в теории Андерсона может быть выражена в виде суммы, включающей эти параметры, и при пренебрежении членами более высоких порядков записана в виде

$$\begin{aligned} \gamma_{fi} = & A(f, i) + \sum_l \sum_{i'} D^2(ii'|l) P_l^A(\omega_{ii'}) + \\ & + \sum_l \sum_{f'} D^2(ff'|l) P_l^A(\omega_{ff'}), \end{aligned} \quad (3)$$

где $A(f, i) = \frac{n}{c} \sum_2 \rho(2) \int_0^\infty v dv b_0^2(v, 2, i, f)$ — обычное слагаемое теории Андерсона, обусловленное прерыванием ($b_0(v, 2, i, f)$ — параметр прерывания).

Суммы в выражении (3) включают переходы различного типа (дипольные, квадрупольные и т.д.) и содержат произведения двух величин — $D^2(ii'|l)$ и $P_l^A(\omega_{ii'})$ [$P_l^A(\omega_{ii'})$ — функция прерывания или функция эффективности]. Силы переходов $D^2(ii'|l)$ и $D^2(ff'|l)$, относящиеся к каналам рассеяния $i \rightarrow i'$, $f \rightarrow f'$, зависят только от свойств поглощающей молекулы (дипольного или квадрупольного момента, волновых функций) и включают только внутримолекулярные эффекты.

Коэффициенты разложения $P_l^A(\omega_{ii'})$ зависят от свойств поглощающей и возмущающей молекул:

$$P_l(\omega) = \frac{n}{c} \sum_k \rho(k) \sum_{l,k'} A_{ll} D^2(kk'|l') \times \\ \times F_{ll'} \left(\frac{2\pi c b_0(k, i, f)}{v} (\omega + \omega_{kk'}) \right). \quad (4)$$

Они зависят от межмолекулярного потенциала, траектории движения сталкивающихся молекул, структуры энергетических уровней и волновых функций возмущающей молекулы. Эти параметры могут рассматриваться как функции эффективности для данного канала рассеяния. Множители $D^2(ii'|l)$ и $D^2(ff'|l)$ достаточно хорошо известны, в то время как параметры межмолекулярного потенциала определяются с худшей точностью. Поэтому представляется логичным разделить члены в уравнении на хорошо и плохо определяемые и скорректировать последние введением полуэмпирического фактора.

$P_l^A(\omega_{ii'})$ представляет собой плавную функцию, поэтому разумно ввести корректирующий множитель к этой функции, оставив без изменения член $D^2(ii'|l)$, описывающий динамику поглощающей молекулы, т.е. представить $P_l^A(\omega)$ так:

$$P_l(\omega) = C_l(\omega) P_l^A(\omega), \quad (5)$$

где $P_l^A(\omega)$ — функция эффективности в приближении Андерсона; $C_l(\omega)$ — поправочный множитель, определяемый из подгонки к экспериментальным значениям параметров контура линий. Использование $P_l^A(\omega)$ в качестве начального приближения в выражении (5) позволяет воспроизвести коррект-

ное поведение полуширин и сдвигов при больших значениях вращательных квантовых чисел или при высоких температурах.

В настоящей статье расчеты уширения линий были выполнены с использованием функций эффективности в следующем виде:

$$P_l(\omega_{ff'}) = P_l^A(\omega_{ff'}) \left[c_1 / (c_2 \sqrt{j_f} + 1) \right], \quad (6)$$

где c_1, c_2 — подгоночные параметры.

Таким образом, мы использовали корректирующий множитель к функции $P_l^A(\omega)$ в виде простого выражения, содержащего два параметра, определяемые из подгонки к экспериментальным данным.

В случае $\text{H}_2\text{O}-\text{CO}_2$ главный вклад в уширение и сдвиг обусловлен взаимодействием между дипольным моментом воды (1,8549 Д для основного состояния) и квадрупольным моментом углекислого газа. Кроме того, в расчет включены квадруполь-квадрупольные взаимодействия ($Q_{bb}(\text{H}_2\text{O}) = -0,13$, $Q_{cc}(\text{H}_2\text{O}) = -2,50$, $Q_{aa}(\text{H}_2\text{O}) = 2,63 \text{ Д} \cdot \text{\AA}$, где a, b и c представляют собой оси инерции), а также индукционный и дисперсионный члены поляризационного потенциала. Вращательные и центробежные постоянные колебательного состояния (000) водяного пара были взяты из [19], а параметры оператора дипольного момента, необходимые для расчета интенсивностей переходов, индуцированных столкновениями, из работы [20].

Результаты сравнения расчетных и экспериментальных данных [14, 15] приведены в табл. 1.

Таблица 1
Коэффициенты уширения линий водяного пара, индуцированного давлением углекислого газа.
Наши расчетные и измеренные [14, 15] данные

Частота, см ⁻¹	Вращательные квантовые числа		γCO_2 [14], см ⁻¹ · атм ⁻¹	Ошибка эксперимента [14]		γCO_2 [15], см ⁻¹ · атм ⁻¹	Разность: [14] – [15]		γCO_2 , наш расчет, см ⁻¹ · атм ⁻¹	Разность: [14] – наш расчет		N
	J', K_a', K_c'	J'', K_a'', K_c''		см ⁻¹ · атм ⁻¹	%		см ⁻¹ · атм ⁻¹	%		см ⁻¹ · атм ⁻¹	%	
18,577	1 1 0	1 0 1	0,2156	0,0053	2,5	0,2094	0,0062	2,9	0,2136	0,0021	1,0	0,64
32,954	2 0 2	1 1 1	0,1937	0,0061	3,1	0,1961	-0,0025	-1,3	0,2066	-0,0129	-6,7	0,61
25,085	2 1 1	2 0 2	0,2247	0,006	2,7	0,201	0,0237	10,5	0,2142	0,0105	4,7	0,65
55,702	2 1 2	1 0 1	0,1974	0,0007	0,4	0,1955	0,0019	1,0	0,1948	0,0025	1,3	0,55
40,988	2 2 0	2 1 1	0,1831	0,0033	1,8	0,1784	0,0047	2,6	0,1948	-0,0117	-6,4	0,64
55,405	2 2 1	2 1 2	0,1566	0,0012	0,8	0,1535	0,0031	2,0	0,1411	0,0155	9,9	0,35
57,265	3 0 3	2 1 2	0,164	0,0005	0,3	0,1732	-0,0092	-5,6	0,1609	0,0031	1,9	0,42
38,464	3 1 2	2 2 1	0,1731	0,0056	3,2	0,1598	0,0133	7,7	0,1826	-0,0095	-5,5	0,57
36,604	3 1 2	3 0 3	0,1812	0,001	0,6	0,1807	0,0005	0,3	0,1949	-0,0138	-7,6	0,56
72,188	3 1 3	2 0 2	0,1764	0,0014	0,8	0,1732	0,0032	1,8	0,1778	-0,0014	-0,8	0,59
38,791	3 2 1	3 1 2	0,1781	0,0009	0,5	0,1729	0,0052	2,9	0,1978	-0,0197	-11,1	0,58
64,023	3 2 2	3 1 3	0,1488	0,0013	0,9	—	—	—	0,1157	0,0331	22,3	0,33
73,262	3 3 0	3 2 1	0,1594	0,0015	0,9	0,1524	0,0070	4,4	0,1507	0,0087	5,5	0,56
78,918	3 3 1	3 2 2	0,1193	0,0037	3,1	0,1206	-0,0013	-1,1	0,0991	0,0202	16,9	0,31
40,282	4 2 2	4 1 3	0,1917	0,0028	1,5	0,1682	0,0235	12,3	0,1852	0,0065	3,4	0,52
53,444	4 1 3	4 0 4	0,1449	0,0027	1,9	0,1384	0,0065	4,5	0,1603	-0,0154	-10,6	0,42
68,063	4 3 1	4 2 2	0,159	0,0031	1,9	0,1524	0,0066	4,2	0,158	0,0010	0,6	0,56
69,196	4 1 3	3 2 2	0,1402	0,0039	2,8	0,1362	0,0040	2,9	0,1576	-0,0174	-12,4	0,50
75,524	4 2 3	4 1 4	0,119	0,0007	0,6	0,1141	0,0049	4,1	0,1014	0,0177	14,8	0,41
79,774	4 0 4	3 1 3	0,1274	0,0011	0,9	0,1267	0,0007	0,5	0,1167	0,0107	8,4	0,33

Окончание табл. 1

Частота, см ⁻¹	Вращательные квантовые числа		γ_{CO_2} [14], см ⁻¹ · атм ⁻¹	Ошибка эксперимента [14] см ⁻¹ · атм ⁻¹	γ_{CO_2} [15], см ⁻¹ · атм ⁻¹	Разность: [14] – [15]		γ_{CO_2} , наш расчет, см ⁻¹ · атм ⁻¹	Разность: [14] – наш расчет		N	
	J', K_a', K_c'	J'', K_a'', K_c''				см ⁻¹ · атм ⁻¹	%		см ⁻¹ · атм ⁻¹	%		
82,155	4 3 2	4 2 3	0,1045	0,0009	0,9	0,1079	-0,0034	-3,3	0,0929	0,0116	11,1	0,35
74,11	5 1 4	5 0 5	0,1381	0,0012	0,9	0,1238	0,0143	10,4	0,1283	0,0098	7,1	0,44
47,053	5 2 3	5 1 4	0,1705	0,0011	0,6	0,1624	0,0081	4,8	0,1628	0,0077	4,5	0,42
89,583	5 2 4	5 1 5	0,1033	0,0078	7,6	0,1044	-0,0011	-1,1	0,0888	0,0145	14,0	0,45
62,301	5 3 2	5 2 3	0,1471	0,001	0,7	0,1384	0,0087	5,9	0,153	-0,0059	-4,0	0,41
101,53	5 4 1	5 3 2	0,1147	0,0073	6,4	—	—	—	0,1047	0,0100	8,7	0,38
59,868	6 2 4	6 1 5	0,1168	0,0062	5,3	0,1295	-0,0127	-10,9	0,1337	-0,0169	-14,5	0,32
58,775	6 3 3	6 2 4	0,1489	0,0052	3,5	0,1117	0,0372	25,0	0,1417	0,0072	4,8	0,35
78,196	7 2 5	7 1 6	0,1073	0,0032	3	0,1069	0,0004	0,4	0,1109	-0,0036	-3,4	0,31
59,947	7 3 4	7 2 5	0,1549	0,0051	3,3	—	—	—	0,1289	0,0260	16,8	0,31
88,881	7 4 3	7 3 4	0,1041	0,0138	13,3	0,1265	-0,0224	-21,5	0,1099	-0,0058	-5,6	0,28

Видно, что наш расчет хорошо согласуется с обоими наборами экспериментальных коэффициентов уширения линий: среднеквадратическое отклонение расчета от эксперимента [14] равно 0,0134, от эксперимента [15] – 0,0145. Максимальные отклонения приведены в табл. 2.

Таблица 2

Характеристики сравнения расчета и экспериментов

Отклонение, %	[14] – [15]	[14] – наш расчет	[15] – наш расчет
Среднеквадратическое	5,6	7,9	7,3
Максимальное положительное	25,0	22,3	17,8
Максимальное отрицательное	-21,5	-14,5	-11,9

Более наглядно сравнение вышеописанных трех наборов данных по полуширинам линий $\text{H}_2\text{O}-\text{CO}_2$ показано на рис. 1, где представлены коэффициенты уширения в зависимости от номера линии (номер растет с возрастанием частоты линии), экспериментальные данные [14], полученные для вращательной полосы, эксперимент [15] для полосы v_2 и наши расчетные значения.

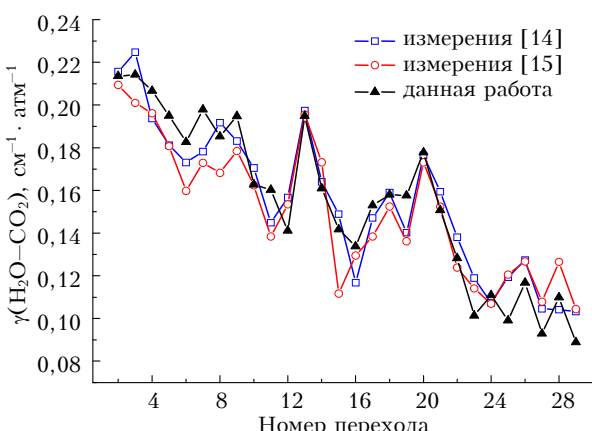


Рис. 1. Расчетные и измеренные [14, 15] коэффициенты уширения линий водяного пара, индуцированного давлением углекислого газа

Средняя ошибка измеренных полуширин $\gamma(\text{H}_2^{16}\text{O}-\text{C}^{16}\text{O}_2)$ из работы [14] равна 7,9%, из работы [15] – 7,3%, максимальная ошибка – 13,3%. Учитывая это, можно сделать вывод, что явная колебательная зависимость коэффициентов уширения линий не наблюдается.

На рис. 2 представлено сравнение коэффициентов уширения $\gamma(\text{H}_2^{16}\text{O}-\text{C}^{16}\text{O}_2)$ из [15] с двумя вариантами наших расчетных данных: с включением корректирующего фактора из выражения (5) (оптимизация) и без него.

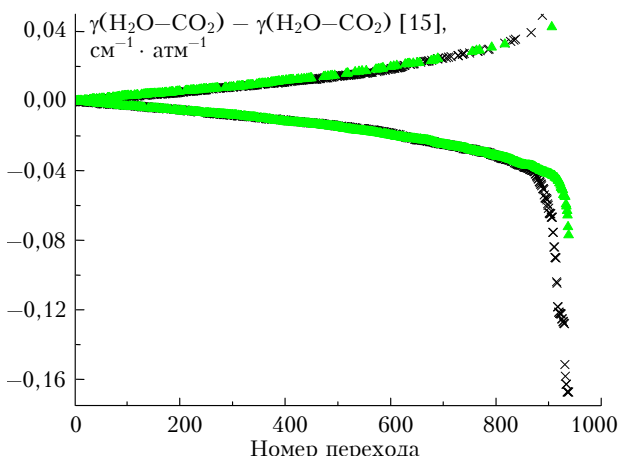


Рис. 2. Сравнение коэффициентов уширения $\gamma(\text{H}_2^{16}\text{O}-\text{C}^{16}\text{O}_2)$ из [15] с двумя вариантами наших расчетных данных: с включением корректирующего фактора (x) и без него (▲)

Для сравнения из [15] взято 937 значений коэффициента уширения $\gamma(\text{H}_2^{16}\text{O}-\text{C}^{16}\text{O}_2)$. Для всех этих переходов имеются полные наборы квантовой идентификации, что позволило сопоставить данные. По горизонтальной оси отложены номера от 1 до 937 – соответствующие данным из [15], по вертикальной оси – отсортированная по величине разность наших расчетных данных с данными [15]. Из рис. 2 видно, что использование корректирующего фактора в расчетной схеме существенно улучшает результаты расчетов. Представленные на рис. 3 коэффициенты уширения линий водяного пара, индуцированного давлением углекислого газа, в зависимости от

вращательного квантового числа J , показывают, в основном, хорошее согласие наших расчетных данных с наиболее полным набором полуширин линий из работы [15]. Расхождение коэффициентов уширения линий при номерах, которые больше 850, имеет место для определенных подпоследовательностей типа $J J 1 \leftarrow J 1 J - 1$. Причина, очевидно, кроется в различном представлении уровней энергии и матричных элементов дипольного момента молекулы типа асимметричного волчка.

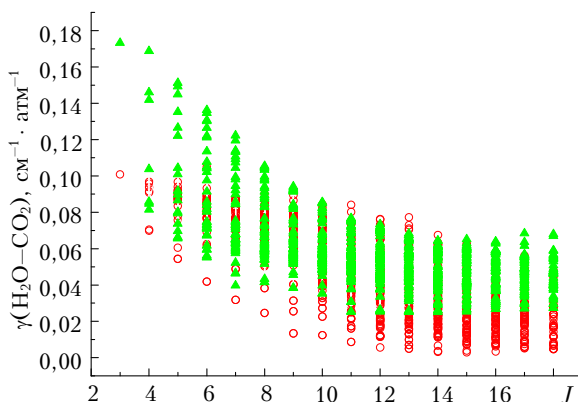


Рис. 3. Наш расчет (▲) и данные из работы [15] (○) в зависимости от J

Кроме того, в работе исследовалась температурная зависимость коэффициентов уширения линий водяного пара, индуцированного давлением углекислого газа. Показатели температурной зависимости полуширин линий определялись согласно эмпирической формуле

$$\gamma = \gamma_0 (T_0 / T_k)^N. \quad (7)$$

Здесь γ_0 — полуширина линии при некоторой опорной температуре T_0 ; N — коэффициент температурной зависимости. Рассчитаны полуширины линий при температурах $T_k = 230, 260, 296, 320$ и 350 К. В качестве опорной температуры была взята $T_0 = 296$ К. Значения коэффициентов температурной зависимости N приведены в табл. 1 (в последнем столбце), их значения варьируются от 0,65 до 0,28. Важно отметить, что определение показателя N очень чувствительно к точности определения полуширин, особенно для узких линий. Даже небольшая ошибка в определении величины γ для узкой линии приводит к большим погрешностям в полученном значении N .

На основании изложенного материала можно сделать следующие основные выводы. Полуэмпирический метод расчета коэффициентов уширения и сдвига линий был применен для вычисления уширения линий водяного пара, индуцированного давлением углекислого газа. Расчеты проведены для значений вращательного квантового числа J от 0 до 20 и для всех вариантов K_a, K_c . Кроме того, вычислены температурные показатели для каждой упомянутой линии. Хотя коэффициенты температурной зависимости определены в диапазоне темпе-

ратур от 230 до 350 К, они, очевидно, могут быть использованы в более широком температурном интервале. Все рассчитанные данные, как полуширины линий, так и коэффициенты температурной зависимости, помещены в информационную систему (“W@DIS” — <http://saga.wadis.iao.ru>).

Сравнение наших расчетов с экспериментальными данными и рассчитанными по методу Робера—Бонами позволяет заключить, что полуэмпирический метод дает возможность достаточно точно рассчитать коэффициенты уширения линий H_2O-CO_2 , а также исследовать их температурную зависимость.

Авторы выражают благодарность Ф.А. Лаврентьеву за техническую помощь в работе.

Работа выполнена при частичной поддержке РФФИ (грант № 11-02-93112-НЦНИЛ_a), программы Президиума РАН 22.2 «Фундаментальные проблемы исследований и освоения Солнечной системы» и Программы РАН 3.9 «Фундаментальная оптическая спектроскопия и ее приложения».

1. Fedorova A., Koralev O., Vandaele A.-C., Bertaux J.-L., Belyaev D., Mahieu A., Neefs E., Wilquet W.V., Drummond R., Montmessin F., Villard E. HDO and H_2O vertical distributions and isotopic ratio in the Venus mesosphere by Solar Occultation at Infrared spectrometer on board Venus Express // J. Geophys. Res. 2008. V. 113. E00B22, doi:10.1029/2008JE003146. P. 1–16.
2. Robert D., Bonamy J. Short range force effects in semi-classical molecular line broadening calculations // J. de Physique. 1979. V. 40, N 10. P. 923–943.
3. Bykov A., Lavrentieva N., Sinitza L. Semi-empiric approach to the calculation of H_2O and CO_2 line broadening and shifting // Mol. Phys. 2004. V. 102, iss. 14–15. P. 1653–1658.
4. Lavrentieva N., Osipova A., Sinitza L., Claveau Ch., Valentin A. Shifting temperature dependence of nitrogen-broadened lines in the v_2 band of H_2O // Mol. Phys. 2008. V. 106, iss. 9–10. P. 1261–1266.
5. Buldyreva J., Lavrentieva N. Nitrogen and oxygen broadening of ozone infrared lines in the region of 5 μm : theoretical predictions by semiempirical and semiclassical methods // Mol. Phys. 2009. V. 107, iss. 15. P. 1527–1536.
6. Лаврентьева Н.Н., Мишина Т.П., Синица Л.Н., Тенисон Дж. Расчеты самоширения и самосдвига спектральных линий водяного пара с использованием точных колебательно-вращательных волновых функций // Оптика атмосф. и океана. 2008. Т. 21, № 12. Р. 1096–1100.
7. Petrova T.M., Solodov A.M., Solodov A.A., Dudaryonok A.S., Lavrentieva N.N. Measurements of O_2 -broadening and -shifting parameters of the water vapor spectral lines in the second hexad region // J. Quant. Spectrosc. and Radiat. Transfer. 2011. V. 112, iss. 18. P. 2741–2749.
8. Дударенок А.С., Лаврентьева Н.Н., Аришинов К.И., Невдах В.В. Столкновительное уширение линий CO_2 давлением N_2O // Оптика атмосф. и океана. 2011. Т. 24, № 10. С. 858–863.
9. URL: <http://wadiss.saga.iao.ru>
10. URL: <http://ara.lmd.polytechnique.fr>
11. Izatt J.R., Sakai H., Benedict W.S. Positions intensities and width of water-vapor lines between 475 and

- 692 cm⁻¹ // J. Opt. Soc. Amer. 1969. V. 59, N 1. P. 19–26.
12. Varanasi P., Prasad C.R. Line widths and intensities in H₂O–CO₂ mixtures. I. An experimental study on the 6.3 μ band of water vapor // J. Quant. Spectrosc. and Radiat. Transfer. 1970. V. 10, iss. 1. P. 65–69.
13. Varanasi P. Line widths and intensities in H₂O–CO₂ mixtures. II. High-resolution measurements on the v₂-fundamental of water vapor // J. Quant. Spectrosc. and Radiat. Transfer. 1971. V. 11, iss. 3. P. 223–230.
14. Sagawa H., Mendrok J., Seta T., Hoshina H., Baron Ph., Suzuki K., Hosako I., Otani C., Hartogh P., Kasai Y. Pressure broadening coefficients of H₂O induced by CO₂ for Venus atmosphere // J. Quant. Spectrosc. and Radiat. Transfer. 2009. V. 110, iss. 18. P. 2027–2036.
15. Brown L.R., Humphrey C.M., Gamache R.R. CO₂-broadened water in the pure rotation and v₂ fundamental regions // J. Mol. Spectrosc. 2007. V. 246, iss. 1. P. 1–21.
16. Быков А.Д., Лаврентьева Н.Н., Синица Л.Н. Влияние искривления траектории столкновением на сдвиги линий молекул в видимой области спектра // Оптика атмосф. и океана. 1992. Т. 5, № 9. С. 907–914.
17. Buldyreva J., Robert D., Bonamy J.J. Semiclassical calculations with exact trajectory for N₂ rovibrational Raman linewidths at temperatures below 300 K // J. Quant. Spectrosc. and Radiat. Transfer. 1999. V. 62, iss. 3. P. 321–343.
18. Buldyreva J., Benec'h S., Chrysos M. Infrared nitrogen-perturbed NO linewidths in a temperature range of atmospheric interest: An extension of the exact trajectory model // Phys. Rev. A. 2000. V. 63, N 12. P. 708–722 [012708 – 0127808-14].
19. Flaud J.-M., Camy-Peyret C., Maillard J.-P. Higher ro-vibrational levels of H₂O deduced from high resolution oxygen-hydrogen flame spectra between 2800 and 6200 cm⁻¹ // Mol. Phys. 1976. V. 32, iss. 2. P. 499–521.
20. Shostak S.L., Muenter J.S. The dipole moment of water. II. Analysis of the vibrational dependence of the dipole moment in terms of a dipole moment function // J. Chem. Phys. 1991. V. 94, iss. 9. P. 5883–5890.

N.N.Lavrentieva, B.A.Voronin. Calculation of H₂O–CO₂ line broadening.

Water vapor line broadening coefficients induced by carbon dioxide are important for different problems of atmospheric physics, astrophysics, and laser physics. Line widths of H₂O–CO₂ were computed by a semi-empirical method for rotational quantum numbers *J* from 0 till 20. The temperature dependence was investigated and the temperature exponents for every transition were calculated.